

図1 DCIAA 面積値との関係性 (左:m/z、 253>127 ; 右:m/z、 253>209)

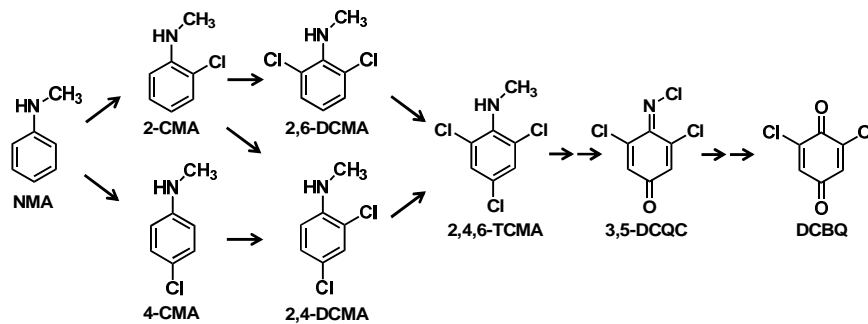


図2 NMA の塩素処理による DCBQ の推定生成経路

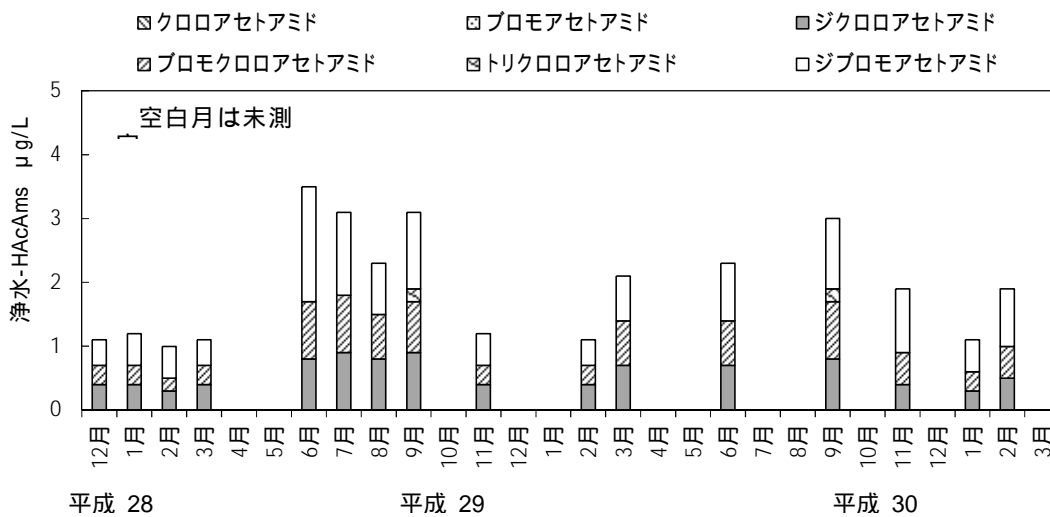


図3 猪名川浄水場浄水出口水の HAcAms 年間変動 (平成 28 年 12 月 ~ 平成 31 年 2 月)

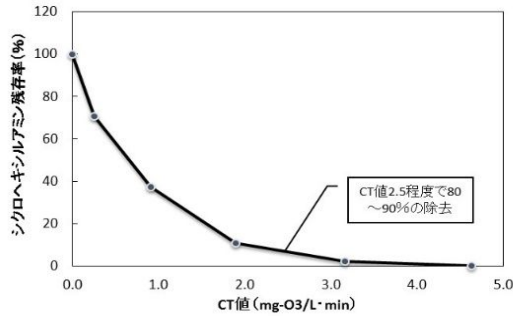


図4 オゾン処理実験結果 (CHA 濃度 50 μg/L、水温 30 )

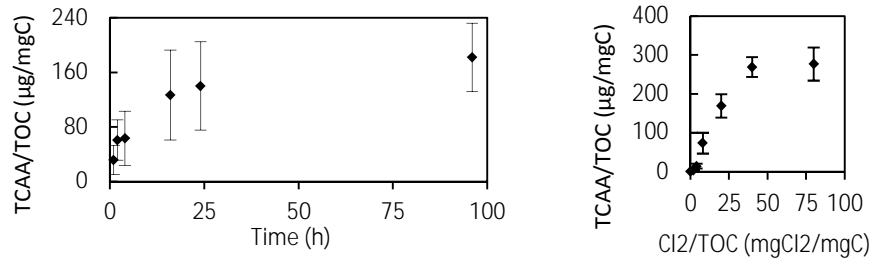


図5 反応条件がラフィド藻類 *G. semen* のトリクロロ酢酸生成能に与える影響 (n=3)

TCAA はトリクロロ酢酸 (左) 反応時間 (右) 塩素添加量

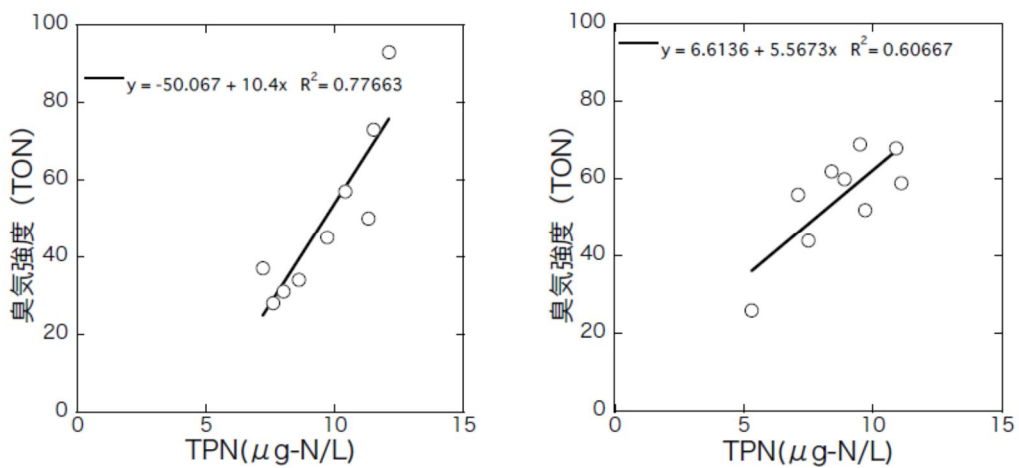


図6 TPN と TON の比較 ((左) 高度浄水処理水、(右) 急速ろ過水)

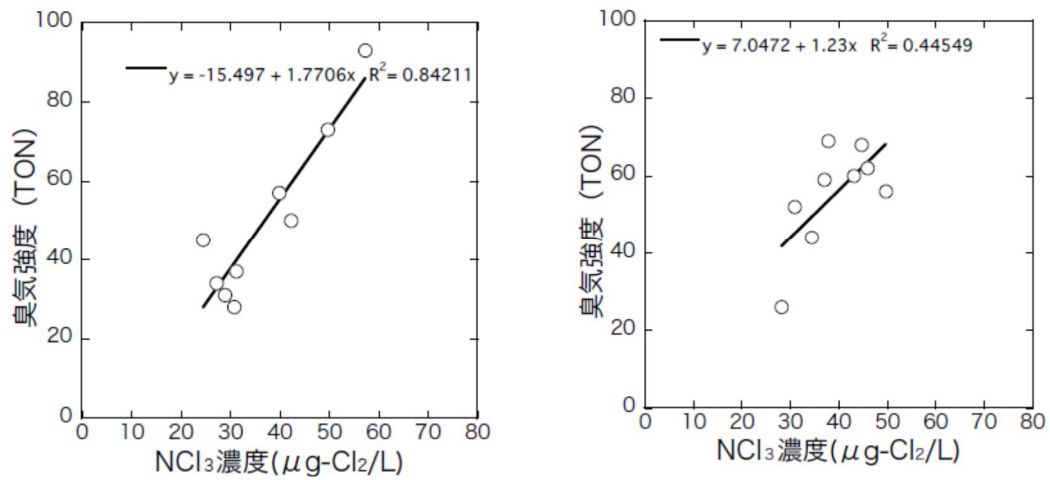


図7 NCl<sub>3</sub>濃度とTONの比較 ((左) 高度浄水処理水、(右) 急速ろ過水)

表1 GC/Oによる臭気感知状況

(a) A浄水場原水

疑似 希釈倍率	#1	#2	#3	#4	#5	PAN	#8
1	4.2	5.4	6.3	6.6	7.1	7.5	8.4
1/2							
1/4							
1/8							
1/16							

(b) B浄水場原水

疑似 希釈倍率	#2	#6	PAN	#7	#8
1	5.4	7.2	7.5	8.2	8.4
1/2					
1/4					
1/8					
1/16					

○の数が臭気を感知した人数(6名中)を表す、表中の数字はGC保持時間

